

یافته‌های نوین در مشخصات و اثرات کانال کوچک ترانزیستورهای اثرباره ای نانوتیوب کربن دوگیتی

زهرا عارفی‌نیا^{*} و علی‌اصغر اروجی^{**}

دانشکده مهندسی برق و کامپیوتر، دانشگاه سمنان

(دریافت مقاله: ۱۳۸۹/۷/۱۴ - دریافت نسخه نهایی: ۱۳۸۹/۸/۵)

- چکیده

(DG-CNTFET)

DG-CNTFET

()

DG-CNTFET

: واژگان کلیدی

Novel Attributes in the characteristics and short channel effects of double gate carbon nanotube field-effect transistors

Z. Arefinia and A. A. Orouji

Electrical and Computer Engineering Faculty, Semnan University

Abstract: In this paper, the short channel effects of different gate configurations and geometry parameters of carbon nanotube (CNT) field-effect transistors with doped source and drain extensions are investigated. The simulation is based on the self-consistent solution of the three-dimensional Poisson equation and Schrödinger equation with open boundary conditions,

** - استادیار

* - کارشناس ارشد

within the nonequilibrium Green's function formalism. Simulation results show that double gate structure offers quasi-ideal subthreshold slope and drain induced barrier lowering even for the rather thick oxide (5nm). Then, the investigation of electrical characteristics of double gate carbon nanotube field-effect transistor (DG-CNTFET) shows that as the CNT normalized density or CNT diameter increases, the current in the on-state increases as well. Also, the off-state current in DG-CNTFET decreases with increasing drain voltage. Furthermore, in the negative gate voltages, for a large drain voltage, increasing in drain current due to band to band tunneling requires a larger negative gate voltage, and for low drain voltage, resonant states appear.

Keywords: Short channel effects, Nonequilibrium Green's function, Field-effect transistor, Double gate, Carbon nanotube.

MATLAB به صورت سه بعدی شبیه سازی شده است. از آنجا که

نتایج نشان می دهند که ساختار دو گیتی CNTFET که در شکل (۱) رسم شده است، دارای نوسانات زیر آستانه شبیه ایدئال و DIBL قابل قبولی است، تاثیر پارامترهای مختلف بر اثرات کanal کوچک و مشخصه های الکتریکی آن مورد بررسی قرار گرفته است. شبیه سازی بر پایه حل معادله شرودینگر با شرایط مرزی باز در چارچوب تابع گرین ناترازمند (NEGF) بنا شده و برای حل معادله پواسون سه بعدی از روش گشتاورها [۱۰] استفاده شده است.

۲- روش شبیه سازی

۲-۱- معادله انتقال با روش NEGF

تابع گرین به صورت زیر توصیف می شود [۱۱] :

$$G(E) = \left[EI - H - \Sigma_S - \Sigma_D \right]^{-1} \quad (1)$$

که در آن E انرژی، I ماتریس واحد، H ماتریس هامیلتونین نانوتیوب و Σ_D و Σ_S به ترتیب ماتریس های خودانرژی سورس و درین اند. اگر تعداد کل اتمهای گرین نانوتیوب N باشد، در آن صورت اندازه ماتریس هامیلتونین $N \times N$ خواهد شد. همان طور که معادله (۱) نشان می دهد با در نظر نگرفتن جمله Σ_{scat} که مربوط به پراکندگی الکترونهاست، انتقال کاملاً بالیستیک برای شبیه سازی رفتار ترانزیستورها در نظر گرفته شده است.

تمام آرایه های ماتریس خودانرژی سورس، Σ_S ، به جز آرایه (۱،۱) که به صورت زیر تعریف می شود، برابر صفر است.

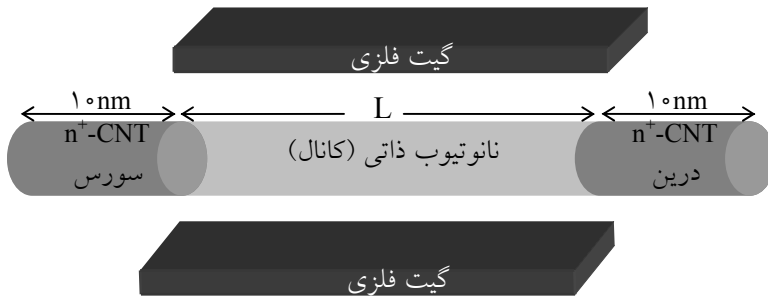
$$\Sigma_S(1,1) = \frac{(E - U_1)^2 + t^2 + b_{2m}^2}{2(E - U_1)} \pm \frac{\sqrt{\left[(E - U_1)^2 + t^2 + b_{2m}^2\right]^2 - 4(E - U_1)^2 t^2}}{2(E - U_1)} \quad (2)$$

۱- مقدمه

پس از کشف نانوتیوبها توسط آیجیما [۱] پیشرفتهای چشمگیری از نظر مدل سازی فیزیکی و تکنولوژیکی در زمینه ترانزیستور اثر میدانی نانوتیوب کربن (CNTFET) صورت گرفته است. به عنوان مثال، نتایج تجربی CNTFET سد شاتکی به دست آمده [۲] و نشان داده شده است که جریان به طور عمده، توسط میدان القایی ساختار نواری نانوتیوب در دو انتهای نانوتیوب حاصل می شود. البته چنین مکانیزمی کارایی قطعه را به شدت محدود می کند. رفتار شبیه دوقطبی [۳]، کترل ضعیف کanal و تنزل خصوصیات الکتریکی مانند افزایش جریان نشتی و نوسانات زیر آستانه در چنین قطعاتی، مخصوصاً ترانزیستورهای شامل نانوتیوب با قطر بزرگتر، دیده می شود [۴ و ۵]. همچنین به طور تجربی اثبات شده است که برای کاهش سد القایی درین (DIBL) به یک مقدار قابل قبول، باید کاهش ابعاد ترانزیستور از قوانین خاصی (به عنوان مثال، نسبت طول کanal به ضخامت اکسید باید بزرگتر از ۱۸ باشد) پیروی کند [۶].

تاکنون راه حل های مختلفی برای فائق آمدن بر این نواقص، پیشنهاد شده است که از میان آنها می توان به انتخاب سطوح تماس از جنس فلز مثل پالادیم یا کلسیم برای ایجاد سطوح تماس اهمی [۶ و ۷] و روش تولید بارهای القایی اشاره کرد [۸ و ۹]. همچنین با تعریف گیتهای چندگانه می توان کارایی ترانزیستورها را بیشتر کرد، زیرا توسط آن می توان پتانسیل مستقل در نواحی سورس، درین و کanal ایجاد کرده و سد شاتکی را در سطح تماس بوجود آورد.

در این مقاله تاثیر ساختارهای متفاوت گیت بر اثرات کanal کوچک CNTFET با سورس و درین آلاییده، توسط نرم افزار



شکل ۱- ساختار سه بعدی DG-CNTFET شبیه سازی شده

۲-۲- معادله پواسون

برای شبیه سازی قطعه با استفاده از روش المان محدود، گسته سازی روی فضا صورت می گیرد و معادلات انتقال برای تمام المانهای حجمی فضا به صورت جداگانه محاسبه می شود. برای بدست آوردن عناصر قطر ماتریس هامیلتونین، H ، در معادله (۱)، که پتانسیل الکتروستاتیکی در جایگاه هر اتم کربن است، باید از معادله پواسون استفاده کرد. در شبیه سازیها سه بعدی، معادله پواسون به صورت زیر محاسبه می شود:

$$\nabla \left[\epsilon(\vec{r}) \nabla U(\vec{r}) \right] = p(\vec{r}) - n(\vec{r}) + N_D^+(\vec{r}) - N_A^-(\vec{r}) + \rho_{fix} \quad (5)$$

که $U(\vec{r})$ پتانسیل الکتروستاتیکی، (\vec{r}) ثابت دی الکتریک، ϵ ترتیب چگالی یونهای دهنده و گیرنده و چگالی بارهای ثابت است. چگالی بارهای ثابت، صفر در نظر گرفته شده است و چگالی الکترونها و حفره ها (به ترتیب n و p) با حل معادله شرو دینگر با شرایط مرزی باز از طریق فرمول بندیتابع گرین ناترازمند (NEGF) محاسبه می شوند [۱۵]. همچنین برای حل معادله شرو دینگر، هامیلتونین تنگ بست در پایه اتمی فضای حقیقی (اوربیتالهای p_z) به کار برده می شود [۱۶]. مزیت استفاده از پایه های فضای حقیقی در مقایسه با پایه های فضای مدبی به علت در نظر گرفتن جریان ناشی از پدیده تونل زنی میان نواری و درون نواری است، دلیل این امر این است که تمام نوارهای نانوتیوب به طور همزمان در روش پایه های فضای حقیقی در نظر گرفته می شوند.

در این مقاله از نانوتیوبهای زیگزاگی استفاده شده است، اما روش پیشنهاد شده در این مقاله را می توان برای نانوتیوب با هر

که در آن E انرژی، U_1 آرایه $(1,1)$ ماتریس پتانسیل، $t \approx 3 eV$ بیانگر پتانسیل بر همکنش دو جایگاه مجاور در شبکه در مدل تنگ بست و b_{2m} برابر با $b_{2m} = 2t \cos(\pi m/n)$ مربوط به کایرالیته نانوتیوب و m عدد کوانتومی زاویه ای است که مقادیر صحیح می گیرد.

به طریق مشابه تنها آرایه غیر صفر ماتریس خود انرژی درین آرایه (N,N) است، که همانند معادله (۲) است با این تفاوت که به جای U_1 ، U_N یعنی آرایه (N,N) ماتریس پتانسیل قرار می گیرد.

جریان به صورت زیر محاسبه می شود:

$$I = \frac{2q}{h} \int_{-\infty}^{+\infty} dE T(E) [f(E - E_{FS}) - f(E - E_{FD})] \quad (3)$$

که q بار الکtron، h ثابت پلانک و $T(E)$ ضریب انتقال است که به صورت زیر محاسبه می شود [۱۲]:

$$T = -\text{Tr} \left[\left(\Sigma_S - \Sigma_S^\dagger \right) G \left(\Sigma_D - \Sigma_D^\dagger \right) G^\dagger \right] \quad (4)$$

که در آن Tr اپراتور تریس است. البته با این مدل تنها می توان انتقال یک بعدی بین سورس و درین را شبیه سازی کرد، یعنی جریان نشتشی گیت در این مدل در نظر گرفته نمی شود زیرا می توان نشان داد که برای ترانزیستورهای با طول کanal چند نانومتر جریان گیت در مقایسه با جریان درین قابل چشم پوشی است.

از دیدگاه عددی تابع گرین با تکنیک بازگشتی محاسبه می شود [۱۳ و ۱۴]. باید به این نکته در اینجا اشاره کرد که در اغلب شبیه سازیها، ماتریس خود انرژی را برای سطح تماسهای نیمه متناهی، به عنوان شرط مرزی، می نویسند. در نتیجه می توان در نظر گرفت که نانوتیوب در دو انتهایش به نانوتیوبهای بلند نامتناهی متصل شده است.

حل می شود و تا زمانی که حلقه نیوتن همگرا شود چگالی بار نانوتیوب ثابت فرض می شود. چرخه الگوریتم تا زمانی که تفاوت پتانسیل محاسبه شده در انتهای دو حلقه نیوتن کمتر از 1 meV شود ادامه می یابد.

در استفاده از تکنیک بازگشته، ار آنجا که در هر حلقه نیوتن چگالی الکترونها مستقل از پتانسیل است، در نقاطی از محدوده که شامل اتمهای کربن است ژاکوبی برابر صفر می شود و کنترل روی تصحیح پتانسیل از بین می رود و مشکل همگرایی به وجود می آید. بنابراین برای رفع مشکل همگرایی، روشی برای حدس مقدار بار به کار می رود تا مقدار تقریبی ژاکوبی در هر حلقه نیوتن به دست آید. برای این منظور از یکتابع نمایی برای حدس مقدار بار استفاده می شود [۱۹]، به این صورت که اگر n چگالی الکترون، همانند معادله (۵)، باشد، چگالی الکترون در Δ امین مرحله از حلقه نیوتن، n_i به صورت زیر بیان می شود:

$$n_i = ne^{\left(\frac{\phi_i - \tilde{\phi}}{V_T}\right)} \quad (8)$$

که $\tilde{\phi}$ و ϕ_i به ترتیب پتانسیلهای الکتروستاتیکی محاسبه شده در اولین و Δ امین مرحله از حلقه نیوتن است و V_T ولتاژ حرارتی است. همین روند محاسباتی برای چگالی حفره‌ها نیز در نظر گرفته می شود.

۳- نتایج و بحث

در این مقاله نانوتیوب زیگزاگی (۱۱،۰) با قطر 9 нм نانومتر که روی SiO_2 [۲۰] جاسازی شده، به کار رفته است. همچنین نانوتیوب ذاتی (غیرآلایده) با طول متغیر L به عنوان کanal و در دو انتهای آن نانوتیوب آلایده با اتمهای نوع n ، به طول 10 нм نانومتر، به عنوان سورس و درین عمل می کنند. لازم به ذکر است که در سورس و درین این ترانزیستورها به ازای هر اتم کربن به طور متوسط f اتم دهنده وجود دارد.

برای بررسی کارایی ترانزیستورهای CNTFET، ابتدا مشخصات dc آنها مورد بررسی قرار می گیرند و سپس رفتار ترانزیستورها بر حسب اثرات کanal کوچک و جریانهای I_{on} و

نوع کایرالیته تعیین بخشید، زیرا تغییرات مورد نیاز تنها شامل تغییر در ماتریس هامیلتونین خواهد بود، به این ترتیب که ابتدا طول و کایرالیته نانوتیوب مشخص می شود آنگاه مختصات سه بعدی هر اتم کربن محاسبه خواهد شد [۱۶]. سپس محدوده سه بعدی شبیه سازی مشخص شده و نقاط شبکه ای مطابق با هر اتم کربن تعریف می شود. همچنین با استفاده از تقریب بار نقطه ای می توان تمام بارهای آزاد اطراف هر اتم کربن را به طور یکنواخت در سلول واحد شامل هر اتم توزیع کرد. با فرض اینکه پتانسیل شیمیایی سورس و درین در حالت تعادل برابر با تراز فرمی نانوتیوب باشد چگالی الکترونها برابر است با:

$$n(\vec{r}) = 2 \int_{E_i}^{+\infty} dE \left[|\psi_S(E, \vec{r})|^2 f(E - E_{FS}) + |\psi_D(E, \vec{r})|^2 f(E - E_{FD}) \right] \quad (6)$$

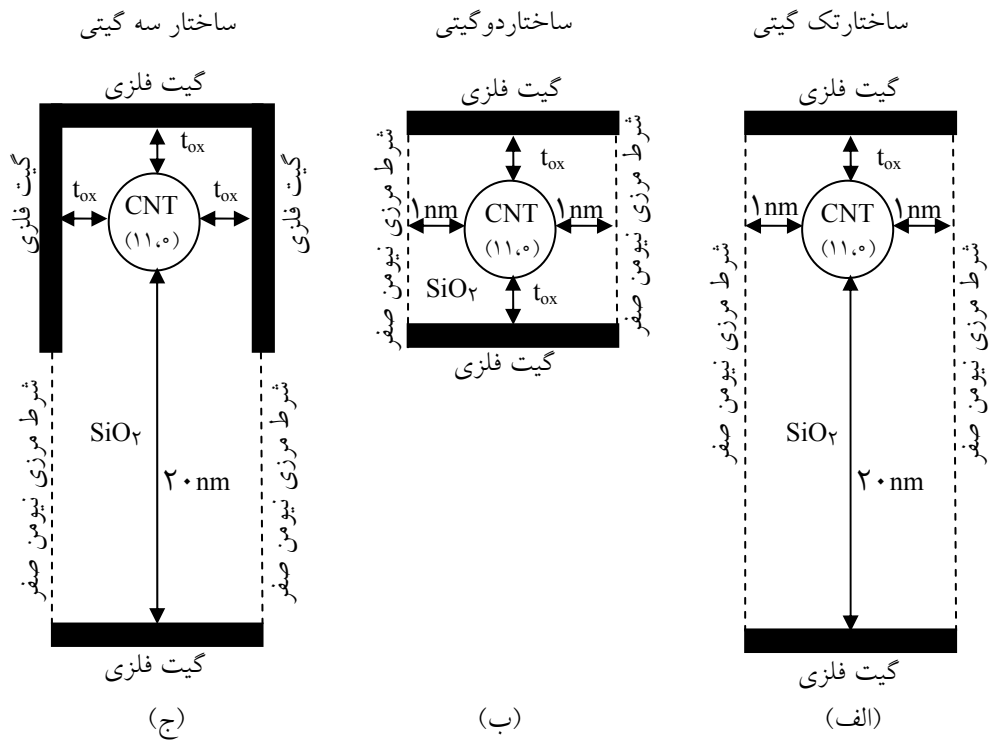
همچنین چگالی حفره ها برابر خواهد بود با:

$$p(\vec{r}) = 2 \int_{-\infty}^{E_i} dE \left[|\psi_S(E, \vec{r})|^2 (1 - f(E - E_{FS})) + |\psi_D(E, \vec{r})|^2 (1 - f(E - E_{FD})) \right] \quad (7)$$

که \vec{r} مختصات هر اتم کربن، f تابع توزیع فرمی- دیراک، $|\psi_D|^2$ احتمال پر شدن حالت های اتمی اتم کربن توسط حاملهای سورس (درین)، E_{FS} (E_{FD}) تراز فرمی سورس (درین) و E_i انژری میان نواری نانوتیوب^۱ یا به عبارتی دیگر تراز خنثایی بار [۱۷ و ۱۸] هستند.

با محاسبه این U جدید از معادله پواسون، باید دوباره هامیلتونین، H ، و سپس معادله انتقال NEGF، معادله (۱) را محاسبه کرد. یعنی یک حلقه خود سازگار بین معادله پواسون و انتقال کوانتومی به وجود می آید و این حلقه تا زمانی که همگرایی حاصل شود یعنی ماکریزم تغییر در پتانسیل از مقدار خطای تعیین شده کمتر شود، $|U^{tot}| \leq |U^{old} - U^{new}|$ (جایی U^{old} مقدار ترانس پتانسیل، U^{new} معمولاً 1 meV در ادامه می یابد). که مقدار ترانس پتانسیل، U^{tot} ، معمولاً 1 meV در نظر گرفته می شود.

از دیدگاه عددی یک سیستم غیر خطی با روش نیوتن- رافسون با طرح بازگرداننده گومل حل می شود. معادله شرودینگر در ابتدای هر حلقه نیوتن- رافسون معادله پواسون



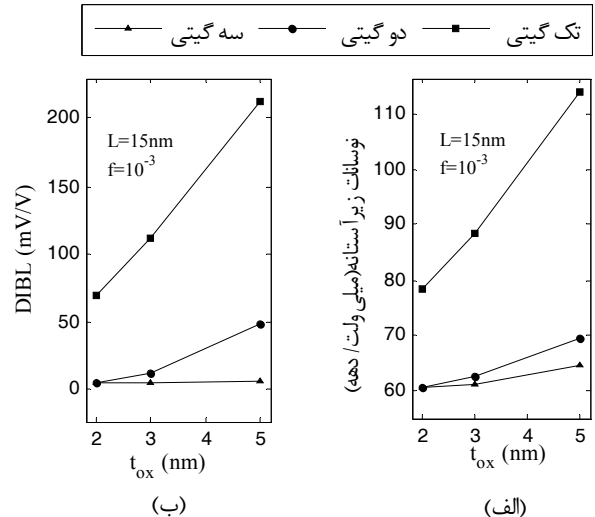
شکل ۲ - سطح مقطع عرضی ترانزیستور اثر میدانی نانوتیوب کربن با آرایشهای مختلف گیت

(الف) تک گیتی، (ب) دوگیتی، (ج) سه گیتی. شرایط مرزی نیومن صفر در وجود جانبی سطح مقطع عرضی فرض شده است.

کanal ثابت $L=15\text{ nm}$ ، (شکل ۲) بررسی می‌شود. برای اینکه بتوان آرایه‌ای از نانوتیوبها را به کار برد از شرایط مرزی نیومن در وجود جانبی سطح مقطع عرضی استفاده می‌شود. در شکل (۲-الف) و (ب) به ترتیب نوسانات زیر آستانه و DIBL به عنوان تابعی از اکسید گیت رسم شده است. همان‌طور که انتظار می‌رود هر چه گیت، کanal را بیشتر احاطه کند کنترل کanal بهتر می‌شود و در نتیجه ترانزیستور سه‌گیتی رفتار ایدئالی را، حتی برای ضخیمترین اکسید گیت در نظر گرفته شده (5 nm) نشان می‌دهد.

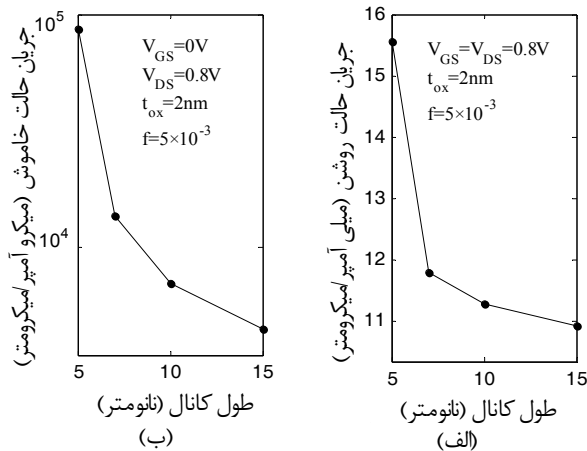
به علاوه در شکل (۳) دیده می‌شود که ساختار دوگیتی نوسانات زیر آستانه شبه ایدئال و DIBL قابل قبولی را در محدوده ضخامت‌های SiO_2 در نظر گرفته شده، نشان می‌دهد. اما ترانزیستور تک گیتی مقدار نوسانات زیر آستانه و DIBL قابل قبولی را فقط برای اکسید گیت نازک (2 nm) نشان می‌دهد.

حال به بررسی مشخصات ترانزیستور اثر میدانی نانوتیوب کربن دوگیتی (DG-CNTFET)، که در شکل (۱) رسم شده

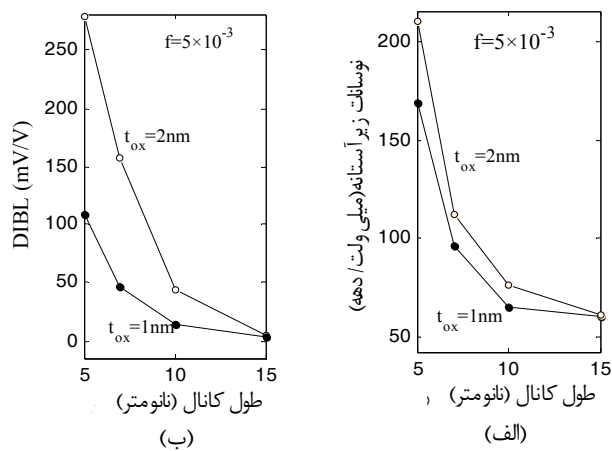


شکل ۳- (الف) نوسانات زیر آستانه و (ب) DIBL به عنوان تابعی از اکسید گیت مربوط به آرایشهای مختلف گیت.

تجزیه و تحلیل می‌شوند. همچنین اثرات کanal کوچک برای آرایشهای مختلف گیت (تک گیتی، دوگیتی و سه گیتی) با طول



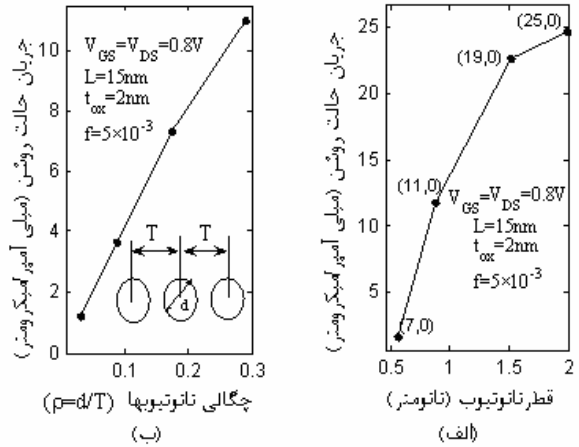
شکل ۵ - (الف) جریان حالت روشن (I_{on}) و (ب) جریان حالت خاموش (I_{off}) به ازای واحد طول، بر حسب طول کanal-DG-CNTFET.



شکل ۴ - (الف) نوسانات زیرآستانه و (ب) DIBL بر حسب طول کanal DG-CNTFET با ضخامت اکسید ۱ و ۲ نانومتر.

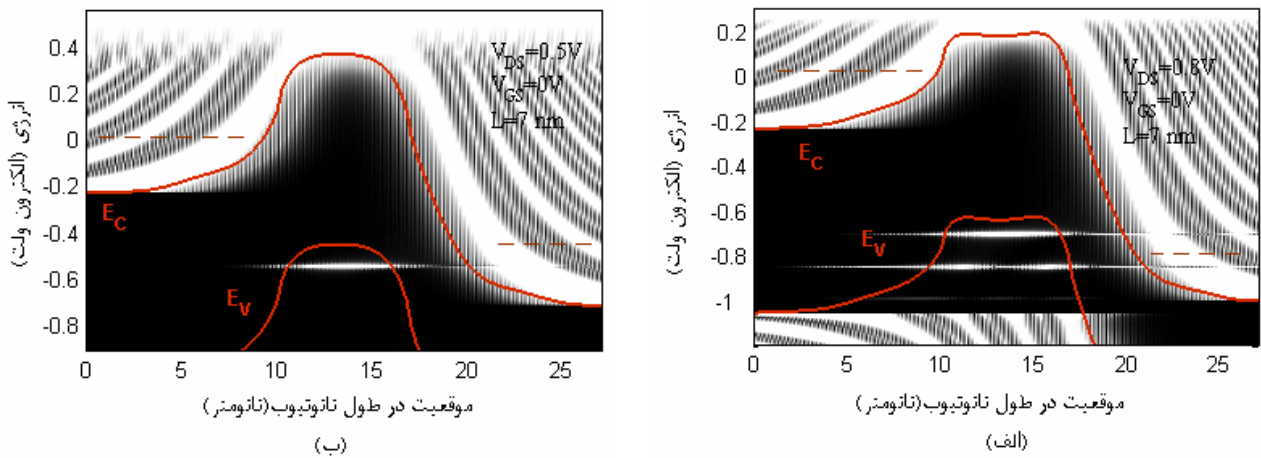
است. همان‌طور که این شکلها نشان می‌دهند DG-CNTFET عملکرد سیار خوبی تا طول کanal ۱۰ نانومتر از خود نشان می‌دهند. شکل (۵-الف) و (ب) به ترتیب جریان حالت روشن (I_{on}) و جریان حالت خاموش (I_{off}) به ازای واحد طول را بر حسب طول کanal در DG-CNTFET نشان می‌دهد. هنگامی که طول کanal را کاهش می‌دهیم اثرات کanal کوچک مهمتر می‌شود و در شرایط بایاسینگ یکسان، ترانزیستور با طول کوتاه‌تر جریان بیشتری را به دلیل کاهش سد کanal نشان می‌دهد. لازم به ذکر است که جریان I_{on} در $V_{DS}=V_{GS}=0/8V$ می‌دهد. جریان I_{off} در $V_{GS}=0V$ و $V_{DS}=0/8V$ محاسبه شده است.

در شکل (۶-الف) به عنوان تابعی از قطر نانوتیوب در طول کanal ۷ نانومتر رسم شده است. هنگامی که قطر نانوتیوب افزایش می‌یابد حالت‌های کوانتیزه انرژی هر اتم حلقه نانوتیوب به یکدیگر نزدیکتر شده در نتیجه زیرباندهای بیشتری در انتقال الکترون نقش خواهد داشت و هدایت کanal افزایش می‌یابد. شکل (۶-ب) I_{on} را بر حسب چگالی نانوتیوب (تعداد نانوتیوبها در واحد طول، $\rho=d/T$) همان‌طور که در بخش الحاقی شکل (۶-ب) دیده می‌شود، فاصله بین مراکز دو نانوتیوب است. جریان حالت نانوتیوب (است) نشان می‌دهد، مطابق این شکل، با افزایش

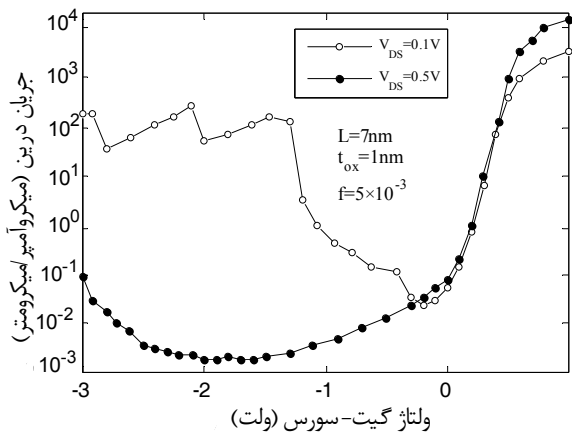


شکل ۶ - (الف) جریان حالت روشن بر حسب قطر نانوتیوب (ب) جریان حالت روشن بر حسب چگالی نانوتیوب (تعداد نانوتیوبها در واحد طول، $\rho=d/T$) همان‌طور که در بخش الحاقی شکل دیده می‌شود، فاصله بین مراکز دو نانوتیوب است. جریان حالت روشن (I_{on}) در $V_{DS}=V_{GS}=0/8V$ محاسبه شده است.

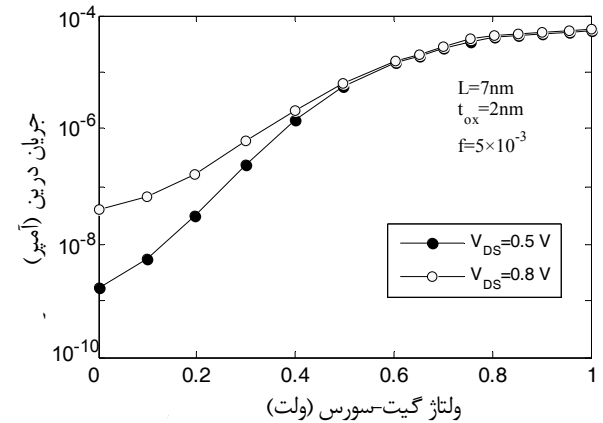
است و سطح مقطع آن در شکل (۶-ب) آورده شده است، می‌پردازیم. نوسانات زیرآستانه و DIBL این ترانزیستور به ترتیب در شکل (۴-الف) و (ب) بر حسب تابعی از طول کanal DG-CNTFET با ضخامت اکسید ۱ و ۲ نانومتر رسم شده



شکل ۷ - چگالی حالتاها نانوتیوب در DG-CNTFET، بر حسب انرژی و مختصات نانوتیوب به ازای $V_{DS}=0/8V$ و (الف) $V_{DS}=0/5V$ (ب). خط‌چینها تراز فرمی سورس و درین را نشان می‌دهند.



شکل ۹ - مشخصه انتقال DG-CNTFET با طول کanal ۷ نانومتر و ضخامت اکسید ۱ نانومتر، به ازای $V_{DS}=0/1V$ و $V_{DS}=0/5V$.



شکل ۸ - مشخصه انتقال DG-CNTFET با طول کanal ۷ نانومتر و ضخامت اکسید ۲ نانومتر، به ازای $V_{DS}=0/5V$ و $V_{DS}=0/8V$.

می‌آید. لازم به ذکر است که در تمام شبیه‌سازی تراز فرمی سورس در انرژی صفر ثابت نگهداشته شده است. اثر دیگر حالتاها مقید روی مشخصه DG-CNTFET در ولتاژهای گیت منفی نمایان می‌شود. از آنجا که تونل زنی باند به باند هم در درین و هم در سورس صورت می‌گیرد، جریان در ولتاژهای گیت منفی نیز افزایش می‌یابد. بنابراین، همان‌طور که در شکل (۹) دیده می‌شود برای ولتاژهای درین بزرگتر احتیاج به ولتاژ گیت منفی بزرگتری داریم تا افزایش جریان درین مشهود باشد، زیرا در ولتاژ درین بالا، اثر حالتاها مقید در باند طرفیت

چگالی نانوتیوبهای کربن جریان نیز افزایش می‌یابد. نکته جالب دیگر در مورد DG-CNTFET، افزایش جریان I_{off} با افزایش ولتاژ درین است. زیرا با افزایش ولتاژ درین - سورس، حفره‌هایی که از درین به سورس تونل زنی می‌کنند حالتاها مقیدی که در لایه طرفیت وجود دارند را اشغال می‌کنند (شکل ۷-الف). اما برای ولتاژهای درین کمتر (شکل ۷-ب) حالتاها مقید از تراز فرمی بسیار دورند، بنابراین همان‌طور که در شکل (۸) دیده می‌شود رفتار خطی در ناحیه زیرآستانه برای منحنی نیمه لگاریتمی مشخصه انتقال به دست

دادند که ساختار دوگیتی نوسانات زیرآستانه و DIBL قابل قبولی را در طولهای مختلف کanal دارد و به ازای افزایش قطر نانوتیوب و افزایش چگالی نانوتیوب جریان حالت روشن آن نیز افزایش می‌یابد. همچنین جریان نشستی DG-CNTFET با افزایش ولتاژ درین-سورس افزایش می‌یابد. نتیجه مهمی که باید به آن اشاره کرد این است که در ولتاژهای گیت منفی و ولتاژ درین زیاد نیاز به ولتاژ گیت منفی بزرگتری داریم تا افزایش جریان درین ناشی از تونلزنی باند به باند، مشهود باشد و در ولتاژهای گیت منفی و ولتاژ درین کم حالتی تشدیدی ظاهر می‌شود

بیشتر می‌گردد، در نتیجه احتمال تونلزنی باند به باند کاهش می‌یابد. به علاوه، در شکل (۹) دیده می‌شود که در $V_{DS} = 0/17$ در ولتاژهای گیت منفی حالتی تشدیدی ظاهر می‌شود.

۴- نتیجه گیری

در این مقاله، مشخصات الکترونیکی و اثرات کanal کوچک ترانزیستور اثر میدانی نانوتیوب کربن با سورس و درین آلاییده، با استفاده از شبیه‌سازی سه‌بعدی بر اساستابع گرین ناترازمند مورد بررسی قرار گرفت. هم‌چنین تاثیر آرایش‌های مختلف گیت و تغییر ابعاد ترانزیستور تجزیه و تحلیل شد. نتایج نشان

واژه نامه

1. mid-gap energy

1. S. Iijima, "Helical Microtubules of Graphite Carbon," *Nature*, Vol. 354, pp. 56–58, 1991.
2. Heinze, S., Tersoff, J., Martel, R., Derycke, V., Appenzeller, J., and Avouris, P., "Carbon Nanotubes as Schottky Barrier Transistors," *Phys. Rev. Lett.*, Vol. 89, pp. 106801–106803, 2002.
3. عارفی نیا، ز. و اروجی، ع. ا.، «جریان نشستی در ترانزیستورهای نانوتیوب کربن با سد شاتکی»، شانزدهمین کنفرانس مهندسی برق ایران، تهران، دانشگاه تربیت مدرس، ص ۵۳-۵۶، ۱۳۸۷.
4. Appenzeller, J., Knoch, J., Martel, R., Derycke, V., Wind, S., and Avouris, P., "Short-Channel Like Effects in Schottky Barrier Carbon Nanotube Field-Effect Transistors," *IEDM Tech. Dig.*, pp. 285–288, 2002.
5. Arefinia, Z., and Orouji, A. A., "Novel Attributes in Scaling Issues of Carbon Nanotube Field-Effect Transistors," *Microelectronics Journal*, in Press, 2008.
6. Javey, A., Guo, J., Wang, Q., Lundstrom, M., and Dai, H., "Ballistic Carbon Nanotube Field-Effect Transistors," *Nature*, Vol. 424, pp. 654–657, 2003.
7. Noshio, Y., Ohno, Y., Kishimoto, S., and Mizutani, T., "N-Type Carbon Nanotube Field-Effect Transistors Fabricated by Using Ca Contact Electrodes," *Appl. Phys. Lett.*, Vol. 86, p. 073105, 2005.

8. Chen, J., Klinke, C., Afzali, A., and Avouris, P., "Self-Aligned Carbon Nanotube Transistors with Charge Transfer Doping," *Appl. Phys. Lett.*, Vol. 86, p. 123108, 2005.
9. Bockrath, M., Hone, J., Zettl, A., McEuen, P., Rinzler, A. G., and Smalley, R. E., "Chemical Doping of Individual Semiconducting Carbonnanotube Ropes," *Phys. Rev. B. Condens. Matter*, Vol. 61, pp. R10607–R10608, 2000.
10. Guo, J., Datta, S., Lundstrom, M., and Anantram, M. P., "Towards Multi-Scale Modeling of Carbon Nanotube Transistors," *International J. on Multiscale Computational Engineering*, Vol. 2, pp. 257-276, 2004.
11. Datta, S., *Electronic Transport in Mesoscopic Systems*, Cambridge University Press, New York, 1995.
12. Datta, S., "Nanoscale Device Modeling: Green's Function Method," *Superlattices Microstruct.*, Vol. 28, pp. 253–277, 2000.
13. Lake, R., Klimeck, G., Bowen, R. C., and Jovanovic, D., "Single and Multiband Modeling of Quantum Electron Transport Through Layered Semiconductors Devices," *J. Appl. Phys.*, Vol. 81, pp. 7845–7869, 1997.
14. Svizhenko, A., Anantram, M. P., Govindam, T. R., and Biegel, B., "Two Dimensional Quantum Mechanical Modeling of Nanotransistors," *J. Appl. Phys.*, Vol. 91, pp. 2343–2354, 2001.
15. Guo J., et al., "Performance Analysis and Design

- Optimization of Near Ballistic Carbon Nanotube Field-Effect transistors,” *IEDM Tech. Dig.*, pp. 703–706, 2004.
16. Saito, R., Dresselhaus, G., and Dresselhaus, M. S., *Physical Properties of Carbon Nanotubes*, Imperial College Press, London, U.K., 2003.
17. Tersoff, J., “Schottky-Barrier Heights and the Continuum of Gap States,” *Physical Review Letters*, Vol. 52, pp. 465-468, 1984.
18. Tersoff, J., “Reference Levels for Heterojunctions and Schottky Barriers,” *Physical Review Letters*, Vol. 56, pp. 675-675, 1986.
19. Lopez Sancho, M. P., Lopez Sancho, J. M., and Rubio, J., “Highly Convergent Schemes for the Calculation of Bulk and Surface Green Function,” *J. Phys. F. Met. Phys.*, Vol. 15, pp. 851–858, 1984.
20. Arefinia, Z., and Orouji, A. A., “Investigation of the Novel Attributes of a Carbon Nanotube FET with High- k Gate Dielectrics,” *Physica E: Low-dimensional Systems and Nanostructures*, Vol. 40, pp. 3068-3071, 2008.